

## الإعداد الآلي لخارطة تضاريس حوض وادي الناقة شرق الجبل الأخضر

محمود الصديق التواتي<sup>1\*</sup>

قسم الجغرافيا، كلية الآداب، جامعة عمر المختار، البيضاء

DOI: <https://doi.org/10.54172/mjssc.v40i3.750>

**المستخلص:** تستهدف هذه الدراسة إنشاء قاعدة بيانات جغرافية لوحدات سطح الأرض في حوض وادي الناقة شرق إقليم الجبل الأخضر، وفق منهجية استقرائية وأسلوب تقليدي، وطبقت بوساطة برنامج Arcmap الإصدار الثامن من شركة Esri وبرنامج Excel ، وجمع الباحث البيانات المكانية من الخرائط الطبوغرافية والخرائط الجيولوجية وخرائط انجراف التربة، فضلاً عن صور القمر الصناعي لنموذج الارتفاع الرقمي DEM، ورفع بعض الموقع بواسطة GPS، وأدخل البيانات وفق إحداثيات مسقط مكينور المستعرض UTM على هيئة طبقات، كما عالج بيانات منطقة الدراسة، واستخرجها من الجداول الكمية والوصفية والأشكال والرسومات التوضيحية، وأدرج الصور الميدانية مع البيانات الوصفية لبعض الموقع والأماكن الرئيسية في منطقة الدراسة.

**الكلمات المفتاحية:** خارطة الوحدات الأرضية؛ Arcmap؛ DEM؛ مورفومترى.

## Preparation and outlays production of the Digital of surface units in the Wadi al-Naqah basin, east of Jabal al-Akhdar

Mahmud Altawti <sup>1\*</sup>

<sup>1</sup> Geography Department, Faculty of Arts, Omar Al-Mukhtar University, Al-Bayda

**Abstract:** For an extract: The objective of this study is to create a geographic database of ground surface units in the Na'qa Valley Basin east of the AlJabel Al-Akhder Region, in accordance with a conventional methodology, applied by Arcmap version 8 of Esri and Excel, which collected data from topographic, geological and soil drift maps as well as DEM digital elevation model image, and upgraded some sites by GPS.

**Keywords:** Geomorphological mapping; Arcmap; DEM; Morphometric.

## مقدمة:

في بدايات القرن العشرين استخدمت خرائط سطح الأرض؛ لتوضيح الأشكال الجيومورفولوجية بالرسومات التوضيحية والتوزيع المكاني للأشكال والعمليات الجيومورفولوجية، وكانت هناك محاولات تتحور حول تحديد الظواهر والعمليات الجيومورفولوجية، بدأت من جلين Gehne في عام 2012، وباسرج Passarg في عام 2014، واستمرت عمليات تطوير الخريطة الجيومورفولوجية خلال حقبة السبعينيات من القرن الماضي (klimazewski, 1990)، كما طرّر البريطانيون خرائط الانحدار تحت إشراف لينتن D. L. Lintod . الجغرافيون على خرائط سطح الأرض لسبعين: أحدهما: أنَّ رسم الخرائط نشاطٌ مكلفٌ ومستهلكٌ للوقت، والآخر: أنَّ التوجه الحالي هو التركيز على موضوعاتٍ و مجالاتٍ معينةٍ بدلًا من الخرائط العلمية الشاملة، (Cooke and Doornkamp, 1990). قدمت الجيومورفولوجية عند ظهور نظم المعلومات الجغرافية GIS التحليل المكاني للمظاهر العام بعد أن كانت صعبة في التنفيذ بالطرق التقليدية، وكانت قاعدة البيانات تشمل العديد من الظواهر الجيومورفولوجية ومن خلالها يمكن إضافة البيانات المكانية في قاعدة بيانات كبيرة وتعديلها وتخزينها؛ للاستفادة منها في الأغراض المختلفة.

يعتمد إعداد قاعدة البيانات على تطبيقات من خلالها يمكن عمل البحث والدراسات الجيومورفولوجية، كما أن خرائط أشكال سطح الأرض الورقية التقليدية يستفاد منها في عرض المفهوم العلمي للمظاهر الجيومورفولوجي للوحدات الأرضية، في حين لا توجد صعوبة في قواعد البيانات الجغرافية من ناحية التحليل والتفسير، إن هذا التحول الكبير في الخرائط الرقمية يوسع الفرص لكل من التطبيقات البحثية والعملية (Butler and Walsh, 1998). في الوقت الحالي تشمل مجالات البحث الرئيسية التي تستخدم في نظم المعلومات الجغرافية في الجيومورفولوجيا ما يأتي:-

- 1- نظم المعلومات الجغرافية المستخدمة في بناء قوائم حصر التضاريس مثل (jakobsen, . 2003), (Clark et al, 2004)
- 2-نظم المعلومات الجغرافية المستخدمة في تحليل المنحدرات وتقسيم المناطق (الطبيعية) للمخاطر وإدارتها على سبيل المثال, (Dai and lee,2002), (Pike et al, 2003)

3- تصنيف المظاهر الطبيعية الرقمية أو الخاضعة للإشراف على بيانات الاستشعار عن بعد في كثير من الأحيان، بالاشتراك مع نماذج الارتفاعات الرقمية DEMs Digital Elevation Models (Brown et al., 1998)<sup>(1)</sup>.

في الوقت الحاضر معظم المجالات انخرطت في استخدام برنامج نظم المعلومات الجغرافية GIS في مجال الجيومورفولوجيا شملت ثلاثة أنظمة وهي: 1) نظم المعلومات في اختبارات التراكيب لأشكال سطح الأرض. 2) نظم المعلومات في تحليل الانحدارات وإدارة المناطق الخطرة. 3) تصنيف الطواهر الطبيعية ووحدات سطح الأرض وفق بيانات الاستشعار عن بعد من خلال نموذج الارتفاع الرقمي DEM.

على الرغم من أن بعض المحاولات لإنشاء قواعد بيانات GIS تطبيقية أو موضوعية قد تضمنت مجموعة من البيانات (Gaspar et al, 2004)، وعلى الرغم من التقدُّم في تفسير البيانات الملتقطة من الأقمار الاصطناعية المتعددة الأطياف ونماذج عالية الدقة، فإن التصميم العام لقاعدة البيانات الجغرافية في الجيومورفولوجيا تحتوي على بيانات مندمجة ومنظمة حول الجوانب العلمية الشاملة لمظاهر سطح الأرض، ويمكن لقاعدة البيانات الخاصة بنظم المعلومات الجغرافية أن تشكّل الأساس لاستخراج الخرائط الموضوعية والتحليلات الجيومورفولوجية وتبادلها مع قواعد البيانات الخارجية، (Plaza et al. 2004 , van Asselen and Seijmonsbergen, 2006) إلا أن التقييم التفصيلي لتكوين الأشكال الأرضية، وتوزيع المواد يظل معقداً، لذلك يجب دمج البيانات المستشعرة عن بعد، مع الملاحظات الميدانية التي تظل ضرورية للتحقق من صحة التفسيرات والتصنيفات في حال تكوين أشكال التضاريس المتشابهة من المواد المختلفة، فيكون لها أصل مختلف، وقد أعطى ثان دين وآخرون (Van Den Eeckhaut et al, 2004) مثلاً لمزايا التحقق الميداني على تفسير الصور الجوية ونماذج الارتفاعات الرقمية DEMs المطلة للتفسير الطواهر الجيومورفولوجية في المناطق المزرعة بكثافة، وخلص سميث وآخرون (smith et al, 2006) إلى أن الخرائط الميدانية باستخدام خريطة يحتمل أن يوفر أفضل LIDAR قاعدة نتائج رسم الخرائط، كما أن عملية إنتاج الخارطة الجيومورفولوجية ونشرها يتوقف على عملية استعمالها فيما بعد، هل هي خارطة ورقية، وهل تم إنتاجها بالألوان أم بالأبيض والأسود؟ وهل الخارطة مصاحبة لمنشور مجلة،

<sup>1</sup> - نموذج الارتفاع الرقمي عبارة عن تمثيل للأرض العارية bare earth السطح الطبوغرافي بما في ذلك الأشجار والمباني وأية أجسام أخرى تشقّب بشكل أساسٍ من الخرائط الطبوغرافية كما عند (USGS) ثم تُستبدل بشكل منهجي بـ DEMs بياناتها عالية الدقة بوساطة الليدر و IFSAR من خلال معالجة السحب، ويتم تجريد الغطاء النباتي والمعالم الأخرى لظهور معلم السطح الأرضي الطبوغرافية www.usgs.gov/fags/what-difference-between-lidar-and-a-digital-elevation-model-dem?-news- بوضوح.

scienek(11:45-am-29-11-2021)

أم هل ستنشر في الإنترن特؟ والرموز المستخدمة وكيفية تكوين عناصر الخارطة المختلفة، ( Otto et al, 2011 ).

### 1. أهداف الدراسة:

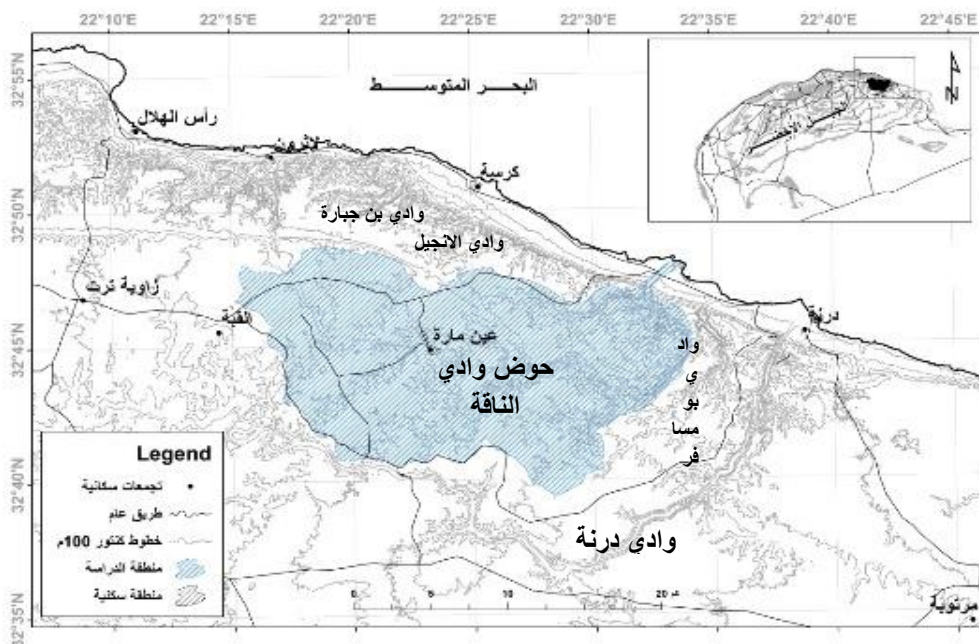
تستهدف الدراسة إنشاء قاعدة بيانات جغرافية لخرائط الوحدات سطح الأرض في منطقة حوض وادي الناقة، باستخدام برامج ArcGIS بحيث تسهل على المهتمين الحصول على البيانات والمعلومات، علما بأنه- على المستوى المحلي- لم يسبق بناء قاعدة بيانات للوحدات الأرضية وفق إحداثيات مكانية محلية UTM تتوافق مع إحداثيات الخرائط الورقية المنتجة من قبل مصلحة الخرائط بطرابلس- ليبيا، ولنكون ذات صلة مع قواعد بيانات مكانية تنشأ في المستقبل.

### 2. أهمية الدراسة:

تعد خارطة الوحدات سطح الأرض مهمة في تقييم المناطق وتطويرها وتنميتها، وبخاصة في المناطق التي تشهد نمواً واسعاً في الأنشطة البشرية المختلفة، وتتيح مجالاً واسعاً لتعديل وإنتاج خرائط سطح الأرض المكانية حديثة ذات جودة عالية.

### 3. موقع منطقة الدراسة:

تقع منطقة الدراسة المتمثلة في حوض وادي الناقة في الجزء الشرقي من إقليم الجبل الأخضر، يحده من الشمال البحر المتوسط، ومن الجنوب وادي بو الصحاك (وادي درنة)، أما من جهة الشرق فيحده وادي بومسافر، ومن الغرب منطقة بيت تامر والقبة، فهو يحتل جزءاً من الحافة الثانية عند منطقة عين مارة، ويمتد على المصطبة الثانية والمصطبة الأولى المشرفة على الساحل الضيق بطول 27 كم وبعرض 15 كم، ويشغل مساحة 315.5 كم<sup>2</sup>، وتمتاز المنطقة بوجود تجمعات سكانية في حوض وادي الناقة أهمها (منطقة عين مارة، سيدى خالد)، حدود الحوض الفلكية بين خطى طول 22 درجة 15 دقيقة و 22 درجة و 34 دقيقة، وبين دائري عرض 32 درجة و 39 دقيقة و 32 درجة و 48 دقيقة شكل (1).



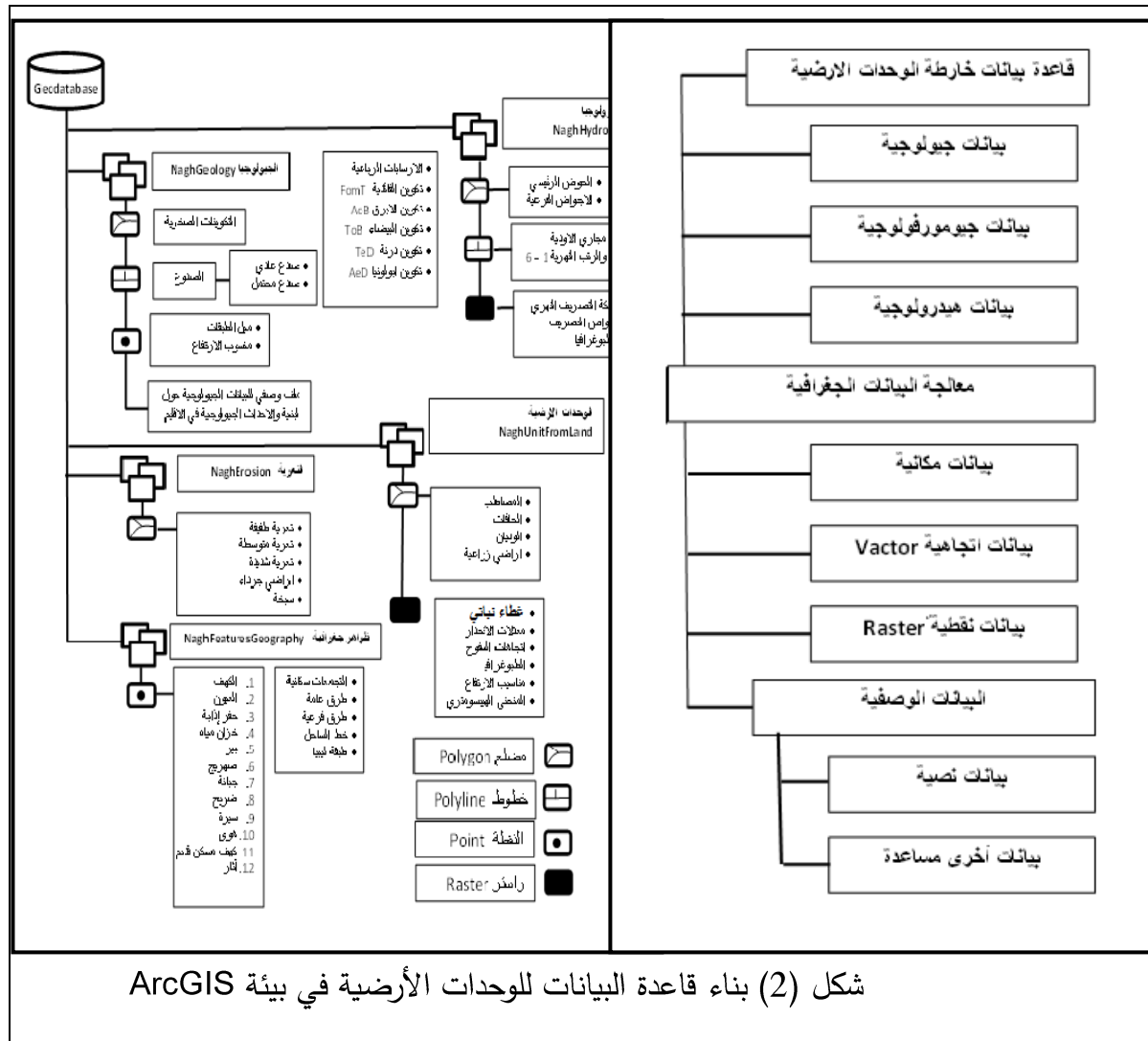
شكل (1) الموقع الجغرافي لحوض وادي الناقة، عمل الباحث، (2021).

#### 4. المناهج وأسلوب الدراسة

اعتمدت هذه الدراسة على المنهج الوصفي والمنهج الكمي التحليلي في جمع البيانات والمعلومات من الخرائط والمرئيات الفضائية google Earth ونموذج الارتفاع الرقمي DEM دقة ( $30 \times 30$  م)، واشتقاق البيانات من الخرائط الطبوغرافية والخرائط الجيولوجية، فضلاً عن الرحلات الميدانية وجمعت البيانات المكانية الموضعية من بواسطة جهاز تحديد الموقع GPS نوع 78s GARMEN وتوثيق الظواهر الصور الفوتوغرافية وبناء قاعدة بيانات خرائط الوحدات الأرضية والموضعية بواسطة برنامج Arcmap 10.3 وفق الآتي:

**- جمع البيانات:** في هذه المرحلة تم تحديد الظواهر الجيومورفولوجية من خلال اشتقاق البيانات المكانية من الخرائط الطبوغرافية (لوحة درنة 3890-IV، لوحة مطار درنة 3890-III، لوحة بير المعاصر 3790-II، لوحة كرسة 3890-I) ذات مقياس رسم 1:50000، وخرائط انجراف التربة ذات المقياس، والخرائط الجيولوجية لوحدة درنة ولوحة البيضاء بمقياس رسم 1:250000، ومن صور القمر الصناعي (نموذج الارتفاع الرقمي DEM) تستخرج خطوط الكنتوه ذات فاصل كنتروري 20 م وخارطة الانحدرات، فضلاً عن توثيق البيانات والمعلومات حول الظواهر الجيومورفولوجية والطبيعية بواسطة جهاز GPS مع العلم بأن نسبة الخطأ للجهاز تتراوح بين (+ 5 و - 5 متر)، تدون القراءات وتحفظ في الجهاز، وهي أماكن لبعض الحفر الكارستية والكهوف والآبار والعيون وقياس مساحات وحدات سطح الأرض في منطقة الدراسة.

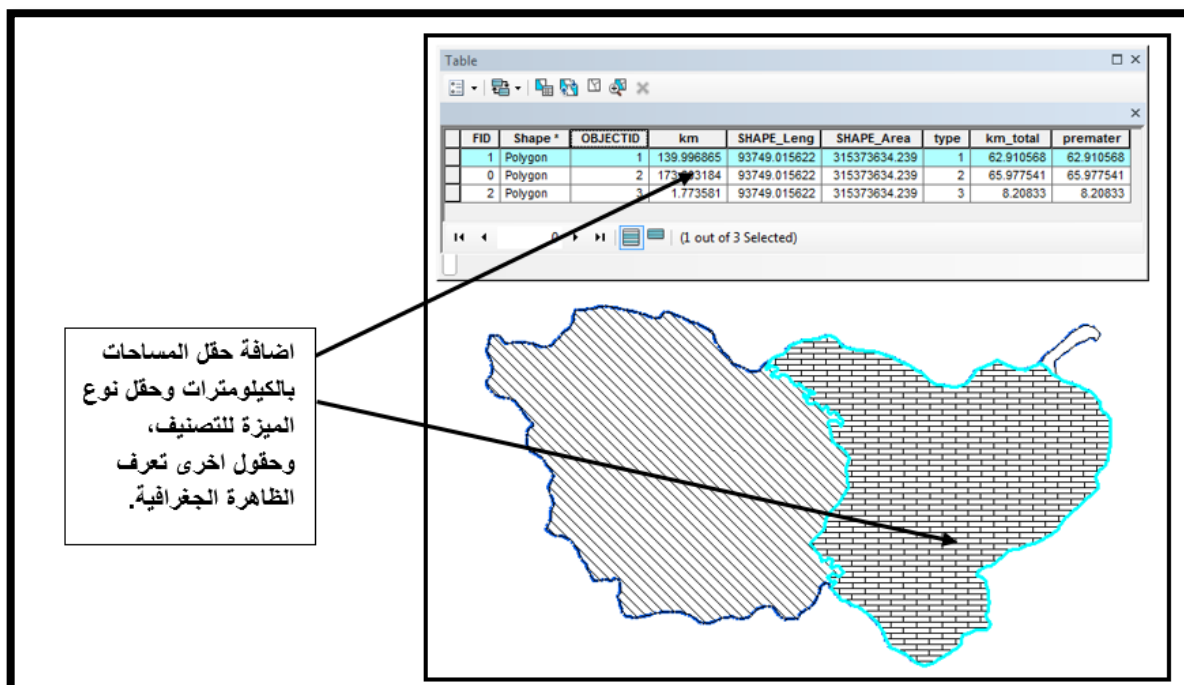
- **إدخال البيانات:** يتم إدخال البيانات عبر المساح الضوئي إلى جهاز الحاسوب لمعالجتها بواسطة برنامج Arcmap 10.8، وإجراء التعريف المرجعي الأرضي Georeferencing للصور والخرائط الطبوغرافية والجيولوجية وخرائط انجراف التربة وفق نظام ميركاتور المستعرض العالمي (UTM) LSD 2006 UTM ZONE 34N (Universal Transverse Mercator)، ثم نقل البيانات الموجودة في الخريطة المدخلة إلى كائنات رقمية (نقاط - خطوط - مساحات) بالترقيم اليدوي Manual Digitizing لعناصر الوحدات الجيومورفولوجية في الخريطة والمرئية الفضائية Google ونموذج الارتفاع الرقمي في بيئة Arc map، توقع البيانات يأتي بناء على الخصائص النوعية والكمية للظاهرة (أي التشكيل، الجيولوجيا، العمليات)، إذ يمكن دراسة الخصائص الجيومورفولوجية بشكل فردي، ويمكن فصلها وإنتاج الخريطة الموضوعية منها؛ لأن نظام رسم الخريطة يعتمد جزئياً على النموذج landform Element الذي حدّده Speight, 1974، فإن الوحدة المتماسكة التي شُكلت بهذه الطريقة تسمى وحدة العنصر، وتخزن البيانات الجيومورفولوجية بتسلق نقطي Raster أو فاكتور Vector أو كليهما للحصول على تفاصيل حول تنسيق البيانات المكانية (Gaspar et al, 2004) و (Clarke, 2003) و (Batten, 2001). ويمكن أيضاً التأكيد من وجود ظاهرة معينة من حساسية الألوان، لذا تخطي الظاهرة بميزة جغرافية بارباع طريقة الفاكتور Vector فترسم الوحدات الأرضية بميزة المساحية (polygon)، وميزة الخط (polyline) للحافات الرئيسية حافات جوانب الأودية، وتحدد ميزة نقاط (point) الظواهر الجغرافية. ويساعد فحص الظواهر الأرضية من صور Google Earth على التقسيم والتحليل وتصنيف العناصر الأرضية من وديان وحافات وسهول وتلال من ناحية مكوناتها وامتدادها، يتم اشتقاء البيانات وتوقعها عبر أدوات التحرير والمعالجة من صندوق الأدوات ArcTools. تبني شجرة لقاعدة البيانات المكانية في منطقة الدراسة شكل (2)، وتوضع التشكيلات النقطية والخطية والمساحية للظواهر الطبيعية مثل العيون والكهوف والحرف والحافات والأحواض، والظواهر البشرية ذات التشكيل المتكلّل، مثل المنشآت الخدمية في التجمعات السكانية وحولها أو بالقرب من الطرق والمسارات، وإضافة الخصائص الجيومورفولوجية النوعية والكمية للوحدات، وهذه المعلومات مرتبطة بالجدول الوصفي الذي يحتوي على حقول، كل حقل تخزن فيه البيانات بشكل مختلف ومنفصل، ويوضح تفاصيل الظاهرة، ويكون بالصف الرقم التعريفي للظاهرة، ثم المظاهر المكانية، نوع الظاهرة، ..... وغيرها)، (محمد إبراهيم، 2017).



- **تصنيف البيانات: الأشكال الأرضية** توصف وتصنف من خلال التفاصيل العامة التي تظهر أمام المستخدم من خلال الخرائط والاستشعار عن بعد وصور DEMs بدقة تميزية  $30 \times 30$  م توضح خصائص الارتفاعات والانحدارات ومن خلالها يتم التعرف على الصخور والتضاريس (G. Bocco, 2001)، والاستشعار عن بعد بصور من القمر الصناعي الأوروبي sentinel A2 الواضحة بدقة تميزية 10م، وعملية تصنيف البيانات المكانية تحتاج إلى تركيز في معلم الوحدة الجيومورفولوجية التي تظهر في الخرائط والصور الفضائية، وتحديد نوعها ومعالمها وامتدادها، مثل الأرضي الزراعية والأرضي المعرة، وما بها من نباتات وغيرها من الظاهرات المتنوعة من خلال الصورة والخرائط ذات مقياس 1:50000 التي تعطي أكثر وضوحاً وتعطي توزيعاً أكثر شمولية للظاهرات الجيومورفولوجية والوحدات الأرضية التي تصنف حسب الشكل والنوع المرتبط برمز يمثلها ويضاف إليها معلومات تخصُّها، بعد ذلك تتم عملية الطبولوجيا، وهي التي تتيح تقسيم الميزات الجغرافية إلى طبقات، كل طبقة تمثل ظاهرة معينة، مثل طبقة الطبوغرافية، وطبقة الوحدات الأرضية للسفوح، وطبقة الوديان،

وطبقة الأرضي المعرأة، وتحمل كل طبقة جدولًا وصفيًّا Attributed table شكل (3) يوثق بيانات الوحدة الأرضية مع التشفير (coding) مثلاً طبقة الجيولوجيا تحمل اسم *NaghGology* ويعطى كل تكوين صخري رمزه الخاص به، كما في اللوحة الجيولوجية، أما في خارطة الوحدات الأرضية فكل ظاهرة لها شفرة معينة، ومن خلال ملء المساحات المتجلسة في المظهر، وتحديد الوحدة والتحقق منها ترشح لأجل تمثيلها بشكل معين (Maksud A.S.m. and saburoh, 2004).

- **تحليل البيانات:** يضم برنامج ArcGIS أدوات التحليل المكاني Spatial Analysis العديد من أساليب تحليل سطح الأرض، بطريقة المتجهات Vector، وتسخرج البيانات الاتجاهية من الجداول الوصفية للأحواض ومجاري الأدوية؛ لمعرفة خصائصها المورفومترية، وبيانات الوحدات الأرضية المختلفة محكمة الإغلاق وتكون طبقات البيانات الأرضية صحيحة الطبولوجيا، ثم تسخرج البيانات للاستفسار والتحليل، وبواسطة طريقة الاستقراء الخلوي الراستر Raster من صورة نموذج الارتفاع الرقمي DEM يتم تحليل المناسبات رقميًّا لتصميم خرائط السطح المختلفة واستخراج الخارطة الكنتورية بفواصل كنتوري 20م، معدلات الانحدار واتجاهاتها، واستخراج المنحنى الهيسيومترى من قيم المعدلات الخلوية، واستخراج القطاعات الرئيسية والعرضية شكل (13).



شكل (3) طبقة المصاطب وجدولها الوصفي Attributed table في بيئة ArcGIS

- **إدارة واستخراج البيانات:** هذه المرحلة هي المرحلة النهائية في تصميم الخارطة الجيومورفولوجية، وفيها تترجم جميع المراحل السابقة على لوحة العرض في البرنامج، من تحديد الأشكال والرموز وتصميم وتنسيق عناصر الخرائط.

### إعداد البيانات الخارجية لوحدات سطح الأرض:-

- **الدراسة الميدانية:** تعد الدراسة الميدانية من المراحل المهمة في الدراسة، وفيها يتم التحقق من الظواهر التي جمعت من الخرائط والصور الفضائية، وقد اعتمدت الدراسة على بيانات الدراسة الميدانية التي أجريت خلال الفترة 2005-2007م وال فترة الحالية 2020-2021م فقد تم المسح الميداني في مسارات محددة: المسار الأول: الوادي الرئيس من عين الجرام إلى مصب وادي الناقة عند ساحل البحر، وتم حصر العيون في الوادي الرئيس، والمسار الثاني: مجرى وادي أرفيد في منطقة عين مارة وفي القطاع الأسفل إلى مصب الوادي وتوثيق بعض الظواهر على جوانب الوادي من نقاط التجديد والكهوف والحزوز الناتجة عن التعرية التفاضلية، كذلك التعرية الجيوبهلوية وحركة المواد، كما تم زيارة كهف خريشايا في منطقة عين مارة وكهف الهمرجي في الحافة الأولى، بينما أهملت القطاعات الأخرى بسبب صعوبة الوصول إليها وقلة الإمكانيات. الصور (1-12).

- **الخارطة الجيولوجية:** توسم مجموعة البيانات الجيولوجية بشفرة أو دليل BedrockNagh coding إحدى مزايا قاعدة البيانات GIS استناداً إلى الخرائط الأساسية المتوفرة والبيانات الجيوفизيائية تحتوي فئات المعالم الثلاثة polygon المضلعات Rock type في نوع الصخر، الخطوط في التراكيب الجيولوجية، الصدع، الفوائل StucturelineNagh، ومواضع ميل الطبقات StucturePointNagh هذه مجموعة تخزن بيانياتها المكانية الوصفية في جداول تضم معلومات حول نوع الصخر، والبنية، وعمر الصخر جدول (1) ويستخرج منها شكل (6).

جدول (1) البيانات المكانية الكمية للوحدات الجيولوجية في حوض وادي الناقة

sheet	المحيط	% النسبة	المساحة	التكوين الجيولوجي	coding
درنة	5.12	0.62	1.95	الإربابات الرباعية	NaghQa
درنة - البيضاء	182.02	75.49	237.9	تكوين الفائدية	NaghTomF
درنة - البيضاء	181.9	16.25	51.2	تكوين الأبرق	NaghToA
درنة - البيضاء	100.7	4.38	13.8	تكوين البيضاء	NaghToB
درنة	50.3	2.65	8.35	تكوين درنة	NaghTeD
درنة	12.3	0.62	1.94	تكوين أبولونيا	NaghTeA
	532.34	100.00	315.14	المجموع	

المصدر: عمل الباحث من الخرائط الجيولوجية ذات مقياس رسم 1:250000 بواسطة برنامج Arcmap 10.3. 2021.

- **الخارطة توزيع الظواهر الجغرافية:** تشمل مجموعة من الظواهر الجغرافية سواء كانت مظاهر طبيعية (وادي، كهف، عين، غابة، ....)؛ الكهوف (كهف خريشايا، كهف الهمرجي، معلقات وادي أرفيد) ومن عيون الماء (سرسة، سيسيانة، جرام، الصخرة، الروحانية، بطحة، القزوينية) ومن مظاهر

الأنشطة البشرية (مدرسة، مسجد، ضريح، آثار، بئر، ..... ) مدارس في منطقة عين مارة، والأضرحة مثل سيدى شاهر روحه بالقرب من منطقة عين مارة، وسيدي الروفي، سيدى الطحلاني ... وغيرها)، وأعدادها موضحة في جدول (2)، وشكل (16).

جدول (2) حصر البيانات المكانية للظاهرات الجغرافية المشتقة من الخريطة الطبوغرافية

ملاحظات	منسوب الارتفاع		العدد	المواضع الهيدرولوجية	coding
	أقل	أعلى			
على جوانب الأودية والتلال	270	571	47	الكهوف	NaghCave
على جوانب الأودية والحافات	156	574	26	العيون الطبيعية	NaghSpring
بالقرب من الأنشطة البشرية	405	557	9	الآبار	NaghWell
منطقة مراعي	249	483	19	صهريج	NaghReservoir
بالقرب من الأراضي الزراعية	369	601	17	آثار (سيرة)	NaghRuins
بالقرب من الأراضي الزراعية	449	583	21	كهوف (سكن قديم)	NaghTroglodyte
في منطقة عين مارة	404	471	4	مدرسة	NaghSchool
في الأراضي الزراعية	409	514	12	آثار	NaghArcol

المصدر: عمل الباحث من الخريطة الطبوغرافية ذات مقياس رسم 1:50000 بواسطة برنامج Arcmap 10.3، 2021.

- **البيانات الهيدرولوجية:** تبدأ بناء قاعدة البيانات Feature database Hydrology وكونت شجرة منفصلة Feature dataset تضم البيانات الوصفية للأبعاد الهندسية لأحواض التصريف الفرعية ضمن وحدة حوض وادي الناقة شكل (10)، وتشمل حدود الحوض وشبكة التصريف النهري وتخزن في HydrologyNagh، وتخزن الأحواض على هيئة مضلعات polygons، والمجاري تخزن على هيئة خطوط ومسارات ضمن شبكة التصريف النهري network جدول (3).

جدول (3) البيانات المكانية للأبعاد الهندسية ومعدلات الانحدار في الأودية الفرعية في حوض وادي الناقة.

معدل الانحدار	أخفض نقطة (متر)	أعلى نقطة (متر)	المحيط (كم)	العرض (كم)	الطول (كم)	المساحة (كم <sup>2</sup> )	اسم الوادي	الرقم
0.015	315	582	48.66	4.60	18.34	84.41	النصرانية	1
0.016	315	580	46.68	4.24	17	72.13	البطوم	2
0.024	175	390	29.34	4.47	9.06	40.45	الزيتون - الذبان	3
0.036	50	505	31.81	2.55	12.66	32.31	ارفید	4
0.013	0	313	72.43	0.95	25	23.69	الناقة	5
0.027	100	400	27.47	1.30	11.28	14.67	سيدي الشارف	6

معدل الانحدار	أخفض نقطة (متر)	أعلى نقطة (متر)	المحيط (كم)	العرض (كم)	الطول (كم)	المساحة (كم <sup>2</sup> )	اسم الوادي	الرقم
0.033	280	505	17.19	1.94	6.78	13.18	طهارة	7
0.054	52	358	12.98	0.91	5.7	5.18	-	8
0.065	37	318	10.90	0.89	4.34	3.88	-	9
0.055	257	458	8.89	0.91	3.67	3.33	رقبة بو ال	11
0.065	47	345	10.74	0.54	4.55	2.46	-	12
0.062	199	369	6.91	0.87	2.73	2.37	عرقوب الدبيب	13
0.062	214	399	7.10	0.73	2.98	2.16	سيرة بورحيم	14
0.073	161	338	5.53	0.61	2.42	1.48	-	15
0.076	263	404	4.88	0.67	1.86	1.25	-	16
0.081	143	322	5.50	0.56	2.21	1.24	الروحانية	17
0.085	309	436	4.35	0.67	1.49	1.00	سيدي حسن	18
0.087	313	445	4.42	0.72	1.52	1.09	-	19
0.051	288	388	4.93	0.45	1.97	0.88	-	20
0.111	188	355	3.87	0.57	1.5	0.86	-	21
0.104	189	366	4.18	0.51	1.71	0.87	-	22
0.080	283	414	3.86	0.53	1.63	0.86	-	23
0.122	90	269	3.99	0.55	1.47	0.81	-	24
0.126	154	323	3.31	0.42	1.34	0.56	عين جرام	25
0.097	299	445	3.32	0.37	1.5	0.55	-	26
0.173	271	423	2.42	0.22	0.88	0.19	-	27
0.172	113	266	2.29	0.18	0.89	0.16	-	28
0.180	287	429	1.93	0.16	0.79	0.13	-	29
0.240	297	441	1.90	0.19	0.6	0.11	-	30
0.121	126	325	3.93	0.43	1.64	0.71	عين الصخرة	31
0.234	118	268	1.96	0.30	0.64	0.19	-	32
0.144	123	277	2.66	0.36	1.07	0.38	-	33

معدل الانحدار	أخفض نقطة (متر)	أعلى نقطة (متر)	المحيط (كم)	العرض (كم)	الطول (كم)	المساحة (كم <sup>2</sup> )	اسم الوادي	الرقم
0.126	74	270	3.69	0.28	1.55	0.43	-	34
0.095	38	242	5.18	0.64	2.14	1.37	-	35
0.304	74	238	2.06	0.46	0.54	0.25	-	36
3.41	6242	13206	411.27	34.75	155.4	315.62	المجموع	
0.097	178	377.3	11.75	0.99	4.44	9.02	المتوسط	

المصدر: إعداد الباحث تحليل مائية فضائية DEM باستخدام برنامج Arcmap10.3

جدول (4) خصائص المجاري النهرية في حوض وادي الناقة وبعض الأحواض الفرعية

أقل مساحة (كم <sup>2</sup> )	أكبر مساحة (كم <sup>2</sup> )	متوسط المساحة (كم <sup>2</sup> )	المساحة (كم <sup>2</sup> )	العدد	المضلعات
		-	315.4	1	حوض وادي الناقة
0.11	84.41	9.02	315.4	35	الأحواض الفرعية

خصائص المجاري النهرية حسب الرتبة في حوض وادي الناقة

أقصر مجاري (كم)	أطول مجاري (كم)	متوسط الطول (كم)	مجموع الأطوال (كم)	العدد	الخطوط حوض الناقة
0.04	1.32	0.30	688.7	2246	الرتبة الأولى
0.04	3.11	0.51	196.18	390	الرتبة الثانية
0.32	7.24	1.47	131.41	90	الرتبة الثالثة
1	10.9	2.74	57.69	21	الرتبة الرابعة
0.68	7.90	5.92	29.6	5	الرتبة الخامسة
-	-	-	39.6	1	الرتبة السادسة
2.08	30.47	10.94	1143.18	2753	المجموع
0.416	6.094	2.188	190.53	458.83	المتوسط

خصائص المجاري النهرية حسب الرتبة في حوض وادي النصارانية

أقصر مجاري (كم)	أطول مجاري (كم)	متوسط الطول (كم)	مجموع الأطوال (كم)	العدد	الخطوط
0.15	1.31	0.40	151.62	372	الرتبة الأولى
0.17	3.11	0.77	45.77	59	الرتبة الثانية
0.58	5.15	2.04	28.68	14	الرتبة الثالثة
0.36	2.86	1.37	5.50	4	الرتبة الرابعة

المضلعات	العدد	المساحة (كم <sup>2</sup> )	متوسط المساحة (كم <sup>2</sup> )	أكبر مساحة (كم <sup>2</sup> )	أقل مساحة (كم <sup>2</sup> )
الرتبة الخامسة	1	7.90	-	-	-
المجموع	450	239.47	4.58	12.43	1.26
المتوسط	90	47.894	1.145	3.1075	0.315
خصائص المجاري النهرية حسب الرتبة في حوض وادي البطوم					
الخطوط	العدد	مجموع الأطوال (كم)	متوسط الطول (كم)	أطول مجاري (كم)	أقصر مجاري (كم)
الرتبة الأولى	518	158.65	0.30	1.33	0.13
الرتبة الثانية	79	40.56	0.51	2.32	0.13
الرتبة الثالثة	19	34.80	1.82	4.96	0.14
الرتبة الرابعة	4	10.92	2.73	6.23	0.18
الرتبة الخامسة	2	13.90	6.97	8.97	4.96
الرتبة السادسة	1	7.62	-	-	-
المجموع	623	266.45	12.33	23.81	5.54
المتوسط	103.83	44.41	2.47	4.76	1.11
خصائص المجاري النهرية حسب الرتبة في حوض وادي الزيتون					
الخطوط	العدد	مجموع الأطوال (كم)	متوسط الطول (كم)	أطول مجاري (كم)	أقصر مجاري (كم)
الرتبة الأولى	481	121.16	0.25	0.71	0.11
الرتبة الثانية	94	33.42	0.35	0.95	0.11
الرتبة الثالثة	19	20.29	1.06	5.54	0.18
الرتبة الرابعة	3	7.34	2.44	5.11	0.18
الرتبة الخامسة	1	7.07	-	-	-
المجموع	623	266.45	12.33	23.81	5.54
المتوسط	103.83	44.41	2.47	4.76	1.11
خصائص المجاري النهرية حسب الرتبة في حوض وادي أرفيد					
الخطوط	العدد	مجموع الأطوال (كم)	متوسط الطول (كم)	أطول مجاري (كم)	أقصر مجاري (كم)
الرتبة الأولى	190	62.38	0.32	1.10	0.17
الرتبة الثانية	37	20.93	0.56	1.53	0.21
الرتبة الثالثة	8	8.22	1.02	2.58	0.30
الرتبة الرابعة	1	10.73	-	-	-

المضلعات	العدد	المساحة (كم <sup>2</sup> )	متوسط المساحة (كم <sup>2</sup> )	أكبر مساحة (كم <sup>2</sup> )	أقل مساحة (كم <sup>2</sup> )
المجموع	236	102.26	1.9	5.21	0.68
المتوسط	59	25.57	0.63	1.74	0.23

المصدر: عمل الباحث من الخرائط الطبوغرافية ذات مقياس رسم 1:50000 ونموذج DEM بواسطة برنامج Arcmap 10.3. 2021.

**- خارطة التعرية وانجراف التربة:** تخزن بيانات هذه الخارطة في ملف ErosinNagh وتستند بياناتها إلى خارطة انجراف التربة، وتحدد الوحدات الأرضية المتأثرة بعوامل التعرية، وتصنف حسب ما هو موجود في الخارطة الأساس، هناك أراضٍ تعرضت إلى تعرية طفيفة، وأراضٍ تعرضت إلى تعرية شديدة، وأراضٍ تعرضت إلى تعرية متوسطة الشدة، وأراضٍ غير متآكلة، وأراضٍ غير مهددة بالانكماش، جدول (5) وتوضخ لها رموز خاصة يستطيع المتخصص تمييزها، ضمنت بيانات هذه المجموعة في الملف الوصفي شكل (9).

جدول (5) البيانات الوصفية لوحدات سطح الأرض المتأثرة بعوامل التعرية

sheet	المحيط (كم)	%	المساحة (كم <sup>2</sup> )	نوع التعرية	coding	ID
Soil Erosion	235.86	77.9	245.47	تعرية طفيفة	NaghErosin	1
Soil Erosion	11.02	0.9	2.88	غير متآكلة	NaghErosin	2
Soil Erosion	30.06	0.4	1.14	غير مهددة بالانكماش	NaghErosin	3
Soil Erosion	103.21	10	31.51	تعرية متوسطة الشدة	NaghErosin	4
Soil Erosion	210.30	10.8	34	تعرية شديدة	NaghErosin	5
	59450.	100	315	المجموع		

المصدر: عمل الباحث من الخرائط الطبوغرافية ذات مقياس رسم 1:50000 بواسطة برنامج Arcmap 2021.

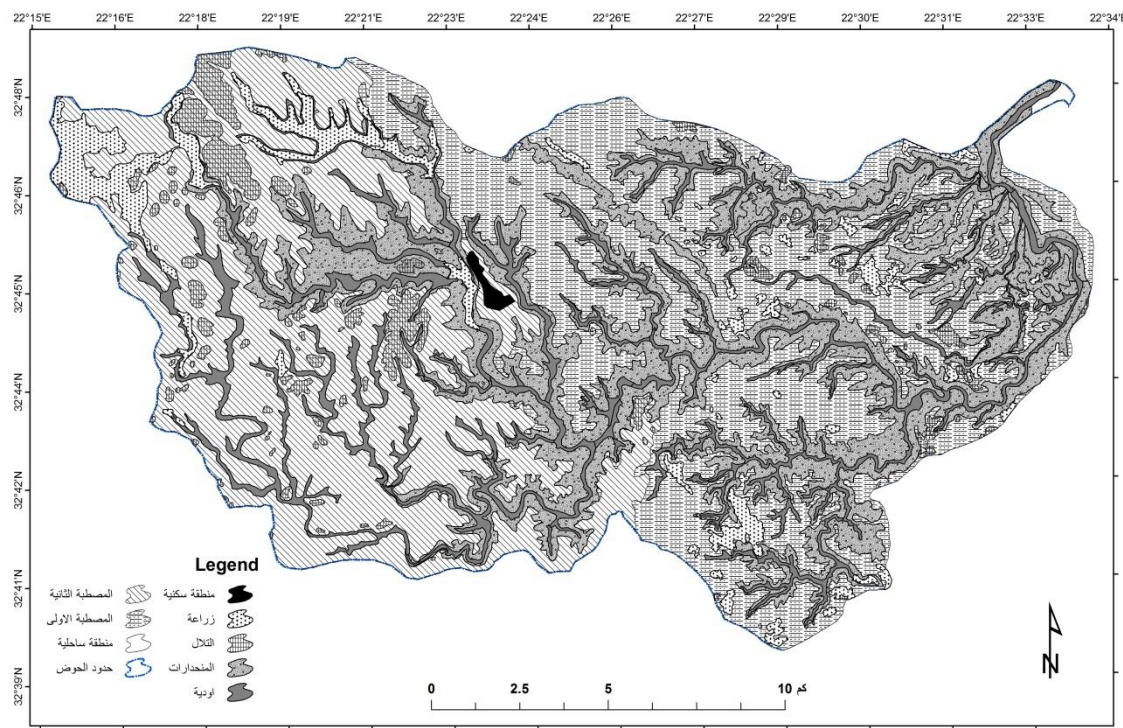
**- خارطة وحدات سطح الأرض:** تخزن بيانات هذه المجموعة في ملف LandGeomNagh حسب البيانات المشتقة من الخارطة الطبوغرافية والصور الفضائية، وتحدد أراضي المصاطب والأراضي السهلية والمنحدرات والأنهار والأودية، أما حدود المصطبة الأولى فهي محددة عند المنطقة الساحلية، وحدود الحافة الثانية تكاد تكون واضحة في الواقع الأوسط من الحوض عند منطقة سيدي خالد، وتكاد تتلاشى في الجهة الشرقية من الحوض بسبب كثرة الروافد التي تعبر الحافة، وتعد المناطق التي تتغير فيها مناسبات الارتفاعات بشكل واضح حدوداً بين الظواهر الجيومورفولوجية، فالظاهرة الجيومورفولوجية تتميز بشكل عام في تجانس مكوناتها الأرضية، لذا فهي سمة مهمة ورئيسية

في تحديد الظاهرة التضاريسية، وعلى هذا الأساس تحفظ البيانات المساحية مع تعريف الشكل بشيفرة خاصة في الجدول الوصفي للميزة. جدول (6) وشكل (4).

جدول (6) البيانات الوصفية للوحدات الأرضية الرئيسية في حوض وادي الناقة

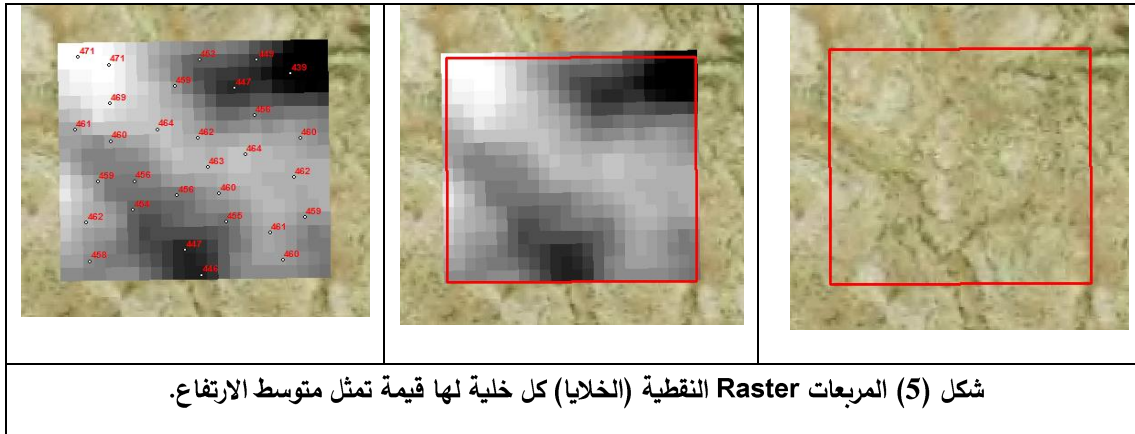
Sheet	المحيط (كم)	النسبة المئوية	المساحة (كم <sup>2</sup> )	النوع	كود	ID
كرسة - بير المعاصر	62.9	20.6	65	المصطبة الأولى	NaghBank1	1
كرسة - درنة - وادي درنة	65.9	20.0	63	المصطبة الثانية	Nagh Bank2	2
كرسة - درنة - وادي درنة - بير	564.33	26.3	83	المنحدرات	NaghSlops	3
كرسة - درنة - وادي درنة - بير	142.65	4.1	13	القلال	NaghHill	4
كرسة - درنة - وادي درنة - بير	167	5.1	16	أراضٍ زراعية	NaghAgricla	5
كرسة - درنة - وادي درنة - بير	1423.2	23.5	74	الأودية	NaghWadies	6
درنة	8.2	0.5	1.5	الساحل	NaghCoast	7
	2434.18	100.0	315.5	المجموع		

5 المصدر: عمل الباحث من الخرائط الطبوغرافية ذات مقياس رسم 1:500000 بواسطة برنامج Arcmap 10.3، 2021.



شكل (4) وحدات سطح الأرض الرئيسية في حوض وادي الناقة، المصدر: خرائط الطبوغرافية، الجيش الأمريكي، 1964.

- **بيانات الجغرافية الخلوية Raster:** تتضمن مجموعات بيانات الإدخال الأولية المستخدمة لرسم الخارطة الجيومورفولوجية الرقمية صور الأقمار الصناعية DEMs، والصور الجوية، وتبني قاعدة البيانات الجغرافية لشبكة المجاري المائية الخطية من خلال نموذج الارتفاع الرقمي DEM الذي يتتألف من شبكة من المربعات النقطية (الخلايا) تحمل كل خلية رقمًا يمثل منسوبها شكل (5)، وتحدد دقة الخلية بدرجة الوضوح Resolution، وقد استخدمت في الدراسة بدقة  $30 \times 30$  م، وتتكون من وحدات بكسل pixel فردية، وهي الحد الأدنى من وحدة المعلومات القابلة للحل التي تحددها الظاهرة الجغرافية على الأرض، وتحدد مجاري الشبكة الخطية Polyline وأحواضها المساحية Polygon والنقاطية point بترقيم الظاهرة، ترقيم الظاهرة الكمية في نموذج الارتفاع الرقمي DEM: تكون صورة DEM من خلايا تحمل قيمة رقمية تعبّر عن كمية وجود الظاهرة بالخلية، وأحياناً تعبّر عن مساحة الخلية كاملة، وقد تعبّر في معظم الأحيان عن القيمة المتوسطة لها داخل الخلية، (محمد إبراهيم، 2017)، ومن صورة DEM المقطعة تُستخرج خرائط (الكتورية، الانحدار، اتجاهات السفوح) من خلال الخارطة الطبوغرافية، ويمكن تفسير الأشكال والوحدات الأرضية الناتجة عن التباين في الارتفاع والانحدار من خلال قراءة خطوط الكتورة، وتحديد الأبعاد الظواهر الطبيعية والبشرية، وهناك طرق لإنتاج الخارطة الطبوغرافية وخارطة الانحدار واتجاهات السفوح من نموذج الارتفاع الرقمي والخرائط الطبوغرافية. انظر شكل (12 - 15).



**المنحنى الهيبسومتري Hypsometric:** ويسمى المنحنى الهيبسوجرافي وهو منحنى تكراري يوضح العلاقة بين ظاهرتين متغيرتين هما الارتفاع والمساحة (محسوب والشريعي، 1999)، وهو أيضاً ضمن الطرق المورفومترية التي تعطي فكرة شاملة عن السطح وخصائصه، تحديد نطاقات الارتفاعات من الخلايا التي تحمل القيم المحصورة ضمن نطاق 100 متر ارتفاع، بما أن أعلى نقطة في حوض وادي الناقة 604 م وأخفض نقطة عن منسوب (صفر). تم تقسيم قيم الارتفاعات إلى 30 فئة مدى كل فئة 100م، ويستخرج متوسط ارتفاع لكل فئة، وحساب مساحة النطاق نضرب قيم الخلايا في مساحة الخلية الواحدة (أبعاد الخلية الواحدة  $27.78 \text{m} \times 27.78 \text{m} = 771.73 \text{m}^2$ ) نحصل على مساحة النطاق وبالتطبيق على بقية النطاقات نحصل على المساحات وما يقابلها من متوسط لكل نطاق، ثم إيجاد العلاقة ما بين الارتفاعات مع المساحات جدول(7)، بلغ المتوسط المكافئ للارتفاعات 409 م ويمثل قسمة الحجم التراكمي على المساحات التراكمية، وهو يقسم كتلة الحوض كتلتين متماثلتين في الحجم، ويبلغ متوسط الارتفاع العام 420 م، ومن خلال شكل المنحنى يمر الحوض في مرحلة النضج المبكر شكل (8).

جدول (7) العلاقة بين المساحات والارتفاعات في حوض وادي الناقة

الارتفاع المكافئ (م)	الحجم التراكمي (كم <sup>3</sup> )	الحجم (كم <sup>3</sup> )	المساحة التراكمية (كم <sup>2</sup> )	المساحة (كم <sup>2</sup> )	عدد الخلايا لكل نطاق (بيكسل)	المتوسط الارتفاع (م)	نطاق الخلايا بالأمتار
1840	2612.8	872.865	1.42	1.48	1840	591.5	604 – 580
690.2	10357.7	7744.87	15.01	13.59	16942	570	580 – 560
609.3	21624.2	11266.6	35.49	20.48	25542	550	560 – 540

الارتفاع المكافئ (م)	الحجم التراكمي (كم <sup>3</sup> )	الحجم (كم <sup>3</sup> )	المساحة التراكمية (كم <sup>2</sup> )	المساحة (كم <sup>2</sup> )	عدد الخلايا لكل نطاق (بيكسل)	المتوسط الارتفاع (م)	نطاق قيم الخلايا بالمتر
582	31493.3	9869.04	54.11	18.62	23218	530	540 – 520
563.3	41144.5	9651.24	73.04	18.92	23596	510	520 – 500
548.1	50565.4	9420.91	92.26	19.23	23973	490	500 – 480
532.6	61230.2	10664.8	114.95	22.69	28293	470	480 – 460
518.9	71592.4	10362.2	137.98	23.03	28712	450	460 – 440
505.7	81865.4	10273	161.87	23.89	29789	430	440 – 420
496.3	89156.6	7291.2	179.66	17.78	22174	410	420 – 400
484	98304.5	9147.8	203.11	23.46	29247	390	400 – 380
472.3	106862	8557.3	226.24	23.13	28838	370	380 – 360
463	113430	6568.1	245.01	18.77	23399	350	360 – 340
455.7	118108	4678.1	259.18	14.18	17676	330	340 – 320
449.9	121408	3299.4	269.83	10.64	13271	310	320 – 300
444.8	124025	2616.9	278.85	9.02	11252	290	300 – 280
439	126581	2556.4	288.32	9.47	11806	270	280 – 260
433.5	128763	2182.4	297.05	8.73	10885	250	260 – 240
429.7	130050	1286.6	302.64	5.59	6975	230	240 – 220
427.3	130770	719.49	306.07	3.43	4272	210	220 – 200
425.7	131152	382.47	308.08	2.01	2510	190	200 – 180
424.6	131372	219.50	309.37	1.29	1610	170	180 – 160
423.8	131505	133.89	310.26	0.89	1113	150	160 – 140
423.1	131612	106.86	311.09	0.82	1025	130	140 – 120
422.2	131709	96.865	311.97	0.88	1098	110	120 – 100
421.4	131779	69.581	312.74	0.77	964	90	100 – 80

الارتفاع المكافئ (م)	الحجم التراكمي (كم <sup>3</sup> )	الحجم (كم <sup>3</sup> )	المساحة التراكمية (كم <sup>2</sup> )	المساحة (كم <sup>2</sup> )	عدد الخلايا لكل نطاق (بيكسل)	المتوسط الارتفاع (م)	نطاق قيم الخلايا بالمتر
420.7	131822	43.340	313.36	0.62	772	70	80 – 60
420.1	131847	25.222	313.86	0.50	629	50	60 – 40
419.4	131864	16.192	314.40	0.54	673	30	40 – 20
418.1	131874	10.113	315.42	1.01	1261	10	20 – 0
13175.92	2976479	130134	6662.64	315.47	393355	9001.5	المجموع
439.1974	99216	4337.7	314.63	630.94	13111	300.05	المتوسط

المصدر: عمل الباحث من نموذج الارتفاع الرقمي DEM، بواسطة برنامج Arcmap 10.3، 2021.

**خارطة الغطاء النباتي:** تعتمد هذه الخارطة على بيانات صور القمر الصناعي الأوروبي Sentinel 2 بدقّة 10 متر لتحسّن مادّة اليخصوصور في النباتات المنتشرة على سطح منطقة الدراسة، وتطبيق معادلة مؤشر الاختلاف النباتي NDVI ومن خلاله يمكن الاستدلال على الأراضي الغابية بالتوليف بين الطبقات الطيفية (B4 – B8) وتطبيق المعادلة (B4 + B8 / B4 – B8) لتصنيف الأراضي حسب حساسية الألوان الموجية الحمراء والزرقاء، نجد أنّ الأراضي الرطبة تشكّل 22% من مساحة منطقة الدراسة بين تردد موجي (0.142 – 0.179)، وتشكل الأراضي الجافة حوالي 38% من مساحة منطقة الدراسة بين تردد موجي (0.219 – 0.541)، وتشكل الأراضي الرطبة تشكّل 38% من مساحة منطقة الدراسة بين تردد موجي (0.142 – 0.179) جدول (8)، يتم تحويل خارطة NDVI إلى خارطة إعادة التصنيف Reclass لتحديد المساحات شكل (12).

جدول (8) بيانات مساحات الأراضي حسب كثافة الغطاء النباتي المستمدّة من حساسية الموجات الحمراء والزرقاء.

نسبة المئوية (%)	عدد الخلايا (بيكسل)	المساحة (كم <sup>2</sup> )	كثافة الغطاء النباتي	م
1.0	21088	2	غطاء نباتي كثيف جدًا	1
2.9	86875	9	غطاء نباتي جيد الكثافة	2
7.3	230822	23	غطاء نباتي متوسط الكثافة	3
11.8	369735	37	غطاء نباتي متوسطة	4
18.1	569043	56	غطاء نباتي قليل الكثافة	5
22.0	688186	69	غطاء نباتي قليل جدًا	6

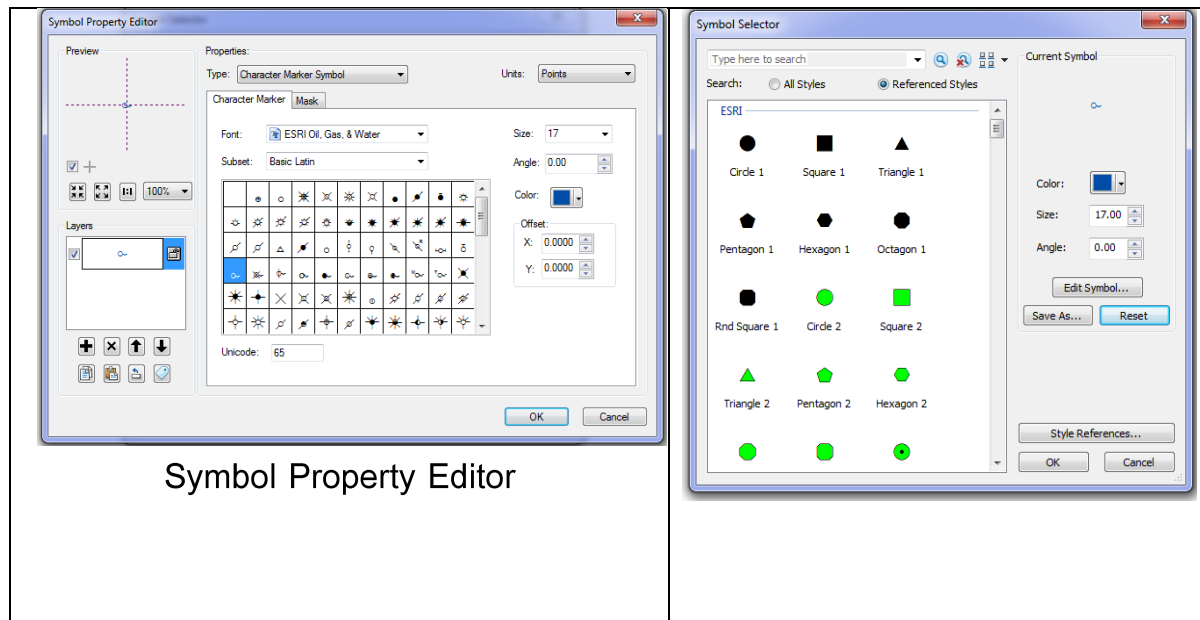
النسبة المئوية (%)	عدد الخلايا (بيكسل)	المساحة (كم <sup>2</sup> )	كثافة الغطاء النباتي	م
22.3	699426	70	نباتات قليلة الكثافة على السفوح	7
15.6	490048	49	أراضي جرداً جافة	8
0.1	1131	0.2	مياه البحر	9
100	3135266	313.2	المجموع	

المصدر: عمل الباحث اعتماداً على بيانات القمر الصناعي الأوروبي Sentinel A2، بواسطة برنامج Arcmap 10.3، 2020.

- **بيانات إضافية متصلة بقاعدة البيانات الجغرافية:** لتوسيع استخدام قاعدة بيانات GIS الجيومورفولوجية يمكن إضافة مجموعة بيانات الاتجاهية Vactor والبيانات الخلوية Raster الأخرى أو تخزينها خارج قاعدة البيانات الجغرافية، ويفضل توصيل قاعدة البيانات الجغرافية ببيانات الارتفاع الرقمي التي يمكن من خلالها بناء نماذج السطح، وذلك بتوصيل نموذج الارتفاع الرقمي DEM وينشأ منه شبكة ثلاثة غير منتظمة (TIN) وتتضمن في ملف منفصل، ومن نموذج DEM يستخرج خطوط الكنور ذات فاصل كنوري 20 م، تحدد الخطوط المغلقة التي تمثل القمم، وخطوط المئات، كما تتضمن هذه المجموعة الصور الجوية للمنطقة المたاحة لدراسة مراحل تغير الظاهرة.

#### - ترميز الخارطة الوحدات الأرضية

إن اختيار رمز الظاهرة مهم في تصميم الخارطة الجغرافية؛ فهو مفتاح تفسيري للقارئ والمشاهد، وعملية اختيار الرموز يقوم بها المتخصصون خلال مراحل تطور الخارطة الجغرافية، فقد كانت الظواهر الطبيعية تأخذ نمطاً وشكلًا ولواناً، توضع الرموز في مكان وجود الظاهرة مثل الينابيع ، والكهوف، والحرير ، والمدرسة ، والضريح، وهكذا لتجميع الظواهر التي توزع على الخارطة، تستعمل رسومات أو أشكال تعبر جغرافياً عن الظاهرة، يضم برنامج Arcmap 10.3 نافذة لتحرير الرموز تضم مجموعة هائلة من الأشكال والرسومات التوضيحية التي من الممكن استخدامها وإمكانية التعديل والإضافة في الشكل من خلال نافذة symbol selector ومنه إلى زر تحرير الرمز Edit symbol، شكل (5).



شكل (5) عملية تصميم رموز الطواهر الطبيعية في برنامج Arcmap 10.3

## نتائج الدراسة

من البيانات والمعلومات التي جمعت من الخرائط والصور تم إعداد البنية التحتية للبيانات والمعلومات الجغرافية المكانية لتصميم الخرائط الموضوعية (الموقع - الجيولوجيا - الطبوغرافيا - شبكة التصريف النهري - الأحواض الفرعية - الجيومورفولوجية - التعرية)، وفي هذا الجانب تبرز قدرة برنامج Arcmap 10.3 في الحصول على المعلومات الجغرافية المكانية، أهمها:-

1- تصنيف وحدات سطح الأرض ومعلوماتها الوصفية برموز تشير إلى الشكل والعملية، وقد اعتمد الباحث طريقة التظليل المساحي الكوركروماتية من نافذة خصائص الرموز من Categories وتحدد الوحدة من خانة Value ومن رابط قائمة الرموز تحدد الظلال المناسبة من خطوط أو تهشيم بنقاط، وتحدد قيم فئات مناسبات الارتفاعات من نافذة classification وعادة ما تكون بالمئات.

2- من الأشكال الخطية يراعى سماكة الخطوط والألوان للدلالة على النوع والقيمة كما في خارطة شبكة التصريف بخطوط مختلفة في السمك واللون، السماكة مثلاً الرتبة الأولى باللون الزرق بسماكة 1 والرتبة الثانية باللون الأزرق بسماكة 1.5 وهكذا شكل (3)، وتعطى شكل الخط في مفتاح خط متعرج بحجم 14 في مفتاح الخريطة، كما يتم اختيار اللون البني لخطوط الكنتور بسماكة 1.5 ، والفاصل الكنتوري 20 متر، واستخراج خطوط الكنتور من صورة DEM، و اختيار خط ذي حزوز بسماكة 2 للحافات، وخطوط الصدوع في خارطة الجيولوجيا باللون الأحمر بسماكة 2 . شكل (7-9-10).

-3 توزع نقاط في الخارطة الجيومورفولوجية ضمن حدود حوض وادي الناقة، وتأخذ كل نقطة تمثل ظاهرة معينة رمزاً مناسباً، الكهف له رمز معروف وموجود في نافذة إعداد الرموز Symbol ، وعادة ما توجد رموز خاصة في مجال الجيومورفولوجيا يتم إدراجها مع حزمة من الأدوات في برامج Arcmap ولكن في حالة عدم وجود هذه الرموز يمكن تصميم رموز خاصة من النافذة سابقة الذكر.

-4 تشغل المصاطب الأولى والثانية حوالي 40 % من الوحدات الرئيسية في الحوض، المصطبة الأولى تمتد بين منسوب 240 - 410م، وتمتد المصطبة الثانية بين منسوب 604 - 420م وتعُرض كل منهما للتقطيع الشديد خلال الفترات الجيولوجية السابقة، حيث نشطت عوامل التعرية المختلفة على خلق أودية خانقية في القطاع الأوسط والقطاع الأسفل من الحوض. شكل (6 - 21-12).

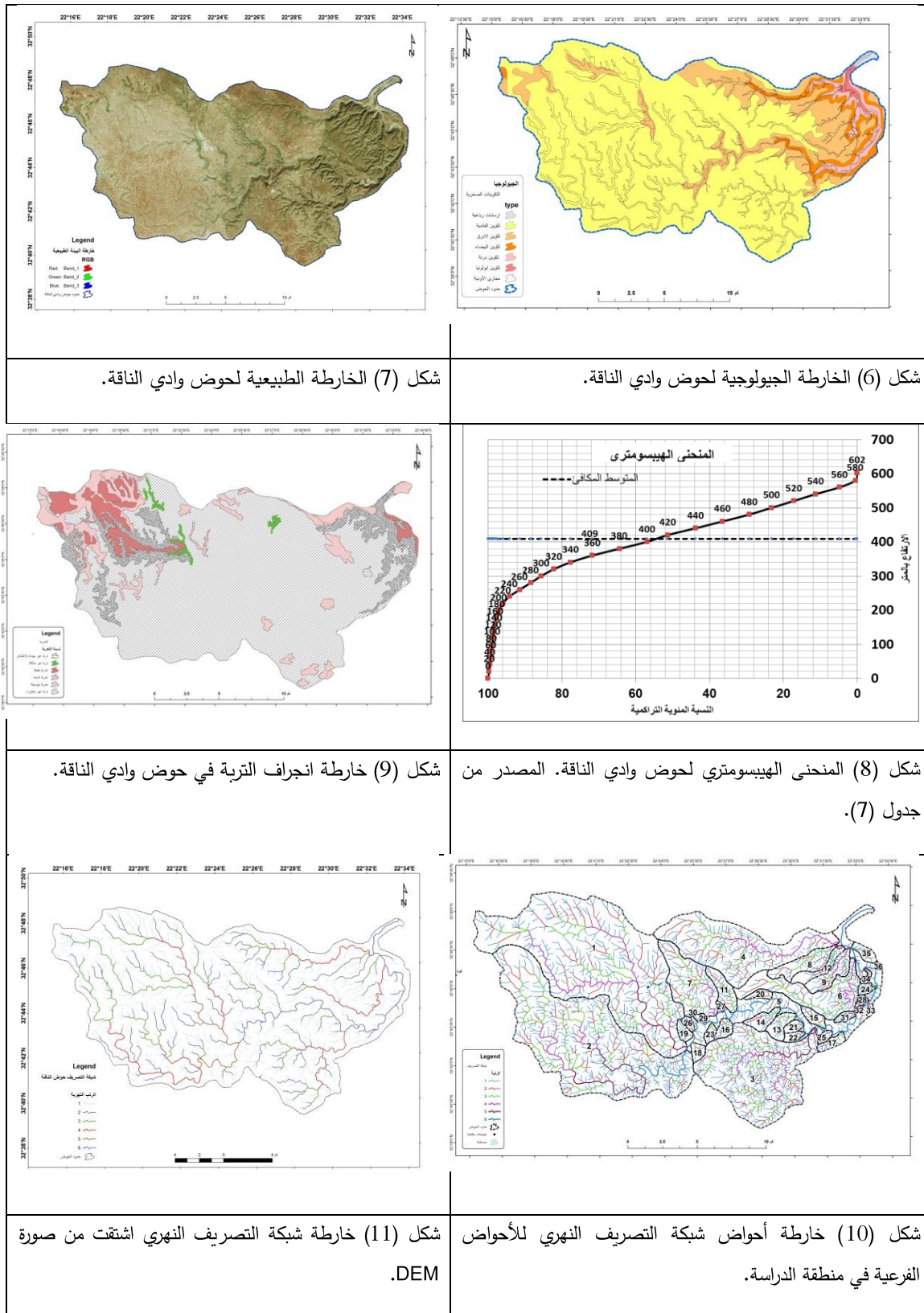
-5 الأرضي الزراعية تشكل ما نسبته 5 % من مساحة الحوض، وهي في زيادة مع انحسار الغطاء النباتي الطبيعي في المنطقة، يتَوَسَّع السكان في القطاع الأعلى من الحوض.

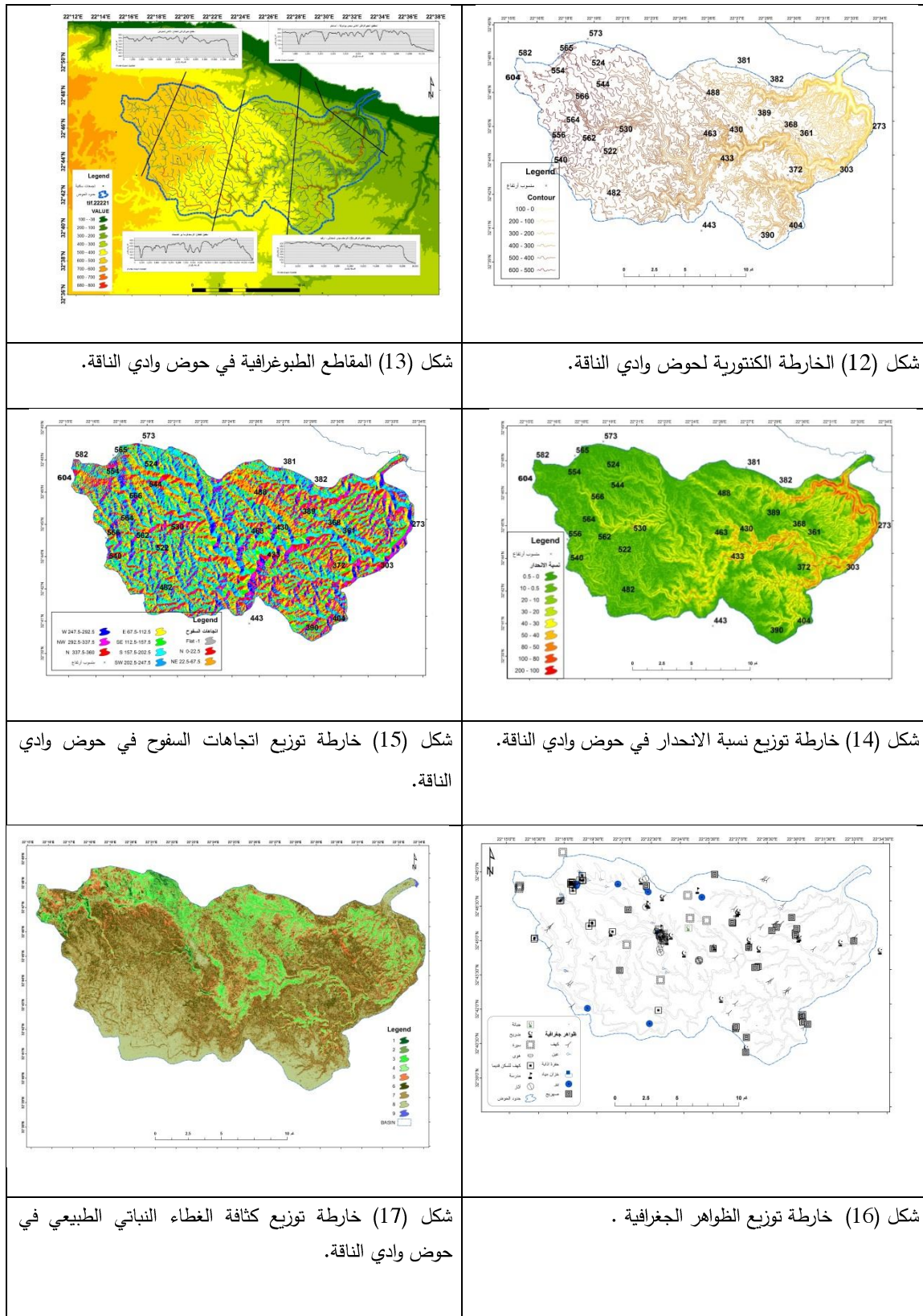
-6 عملت المياه الجارية خلال الفترات الجيولوجية السابقة على نحت الأسطح الصخرية الجيرية المتباينة في الصلابة، وكانت شبكة تصريف نهري ذات نمط شبه شجري يتبع الانحدار العام للحوض، وتكون الرافد العليا أكبر الأحواض المغذية للوادي الرئيس؛ وادي الناقة، ووادي النصرانية ووادي البطوم، ومجموعة أخرى على المصطبة الأولى ترتفع على الوادي الرئيس وادي أرفيد ووادي الزيتون، تشكل مساحة مجاري الأودية حوالي 23.5 % من مساحة حوض منطقة الدراسة. شكل (9 - 7).

-7 على الرغم من أن تعرية التربة طفيف إلا أن الأرضي المعرة والتي تتعرض للتعرية الشديدة تصل نسبتها 10 % من مساحة الحوض، في حين تبلغ نسبة الأرضي الزراعية حوالي 5 % مع زيادة في الأرضي الزراعية، وتشكل الأرضي التي تعرضت إلى تعرية خفيفة نحو 79 %.

-8 تزخر منطقة الدراسة بمظاهر طبيعية خلابة يمكن استغلالها للجذب السياحي مثل الكهوف الطبيعية والكهوف السكن القديم تمثل في المعلقات (معلقة في وادي أرفيد).

## 1. الأشكال المنشأة في قاعدة البيانات الجغرافية





## 9- صور الزيارات الميدانية التي قام بها خلال فترات سابقة في منطقة الدراسة

	
<p>صورة (2) وادي الناقة عند كهف الهمرجي في الحافة الأولى، 2005/07/06.</p>	<p>صورة (1) جزء من المصطبة الأولى على الجانب الغربي من وادي الناقة والساحل، 2005/07/06.</p>
	
<p>صورة (4) مجرى وادي من الربطة الرابعة والمنعطفات النهرية المتعمقة في وادي ارفيد، غرب درنة، بصحبة الأخ محمد المصري، 2007/07/06.</p>	<p>صورة (3) الحافة الثانية عند منطقة سيدى خالد ترتفع عن سطح المصطبة الأولى حوالي 60 م، 2021/10/24.</p>
	
<p>صورة (6) مجرى وادي من الربطة الثالثة ينحدر نحو الوادي الرئيس، ويظهر صخور الحجر الجيري تكوين درنة وأبوليونيا، 2007/07/06.</p>	<p>صورة (5) منابع العليا لمجرى وادي ارفيد في المصطبة الأولى. 2007/07/06.</p>

	
<p>صورة (8) سفح مقرع على جانبي وادي ارفيد، 2007/07/06.</p>	<p>صورة (7) الوادي الرئيس وسرير الوادي تغطيه رواسب حصوية، وتساقط بعض الكتل على جانبي الوادي، 2005/07/06.</p>

	
<p>صورة (10) مجراً وادي من الرتبة الثالثة ينحدر نحو الوادي الرئيس، ويظهر صخور الحجر الجيري تكوين درنة وأبولونيا، 2007/07/06.</p>	<p>صورة (9) الصواعد والتوازل في كهف خريشايا غرب مدينة درنة، 23 يونيو 2005.</p>
	
<p>صورة (12) عين أم سنب، نبع مائي بين تكوينات البيضاء ودرنة في صخور الحجر الجيري، 2005/07/06.</p>	<p>صورة (11) عين جرم ، نبع مائي بين تكوينات البيضاء ودرنة في صخور الحجر الجيري، مع محمد المصري، 2005/07/06.</p>

## الخلاصة

تضم قاعدة البيانات الوحدات سطح الأرض في حوض وادي الناقة المنشأة في بيئه نظم المعلومات الجغرافية ArcGIS بيانات ومعلومات شبه متكاملة حول بنية الحوض والعناصر الأساسية بشكل العام، فضلاً عن بعض المعلومات المساعدة للتفسير الظواهر الطبيعية في منطقة الدراسة مثل الحفر الكارستية والكهوف والعيون ومعلومات عن الخارطة الجيولوجية التي تضم مجموعة من الخرائط التي تشكلت من خرائط الأساس والصور الفضائية، وتحتوي على بيانات رقمية عن ظاهرات سطح الأرض والأشكال الجيومورفولوجية، إن برامج نظم المعلومات الجغرافية لها مرونة عالية في إدارة البيانات الجغرافية وتعديلها وإمكانية معالجتها بدقة عالية حسب دقة المدخلات وصحتها، وقد تبين بعد الاستقراء العام للبيانات والمعلومات أن الشكل العام لا يتعارض- إلى حد ما- مع بيانات البنية الأصلية لمنطقة، كما أن العمليات الجيومورفولوجية في تطور، ولا تزال تؤثر بشكل محدود في بعض القطاعات هشة الأسطح الصخرية المعراء، وفي بعض غطاءات التربة الضحلة، وتعد مناطق التوسيع العمراني المحدودة لها تأثير نسبي على مظاهر السطح وذلك من خلال المقارنة بين الخريطة الطبوغرافية عام 1954 وخرائط انجراف التربة مع الصور الفضائية الحديثة.

## المراجع العربية والأجنبية

1. محمد إبراهيم محمد شرف، 2015، المرجع في نظم المعلومات الجغرافية، دار المعرفة الجامعية، الأسكندرية، ص 144 – 145.
2. محمد صبري محسوب، أحمد البدوي الشريعي، 1996، الخريطة الكنторية قراءة وتحليل، دار الفكر العربي، مصر، ص 235 – 237.
3. الجمهورية العربية الليبية، 1964 ، الخارطة طبوغرافية، ذات مقياس رسم 1:50000، لوحة درنة، لوحة مطار درنة، لوحة بير المعاصر، لوحة كرسة ، الجيش الأمريكي، واشنطن.
4. الجمهورية العربية الليبية، 1974، الخارطة الجيولوجية، ذات مقياس رسم 1:250000، لوحة درنة، لوحة البيضاء، مركز البحوث الصناعية، طرابلس.
5. Batten, P., 2001. Anew approach for landscape mapping, Proceedings of the 6th International Conference on Geocomputation. University of Queensland, Brisbane, Australia. 24 – 26 Sept.
6. Bocco, G., Mendoza, M., Velázquez, A., 2001. Remote sensing and GIS-based regional geomorphological mapping — a tool for landuse planning in developing countries. *Geomorphology* 39,211–219.

7. Brown, D.G., Lusch, D.P., Duda, K.A., 1998. Supervised classification of types of glaciated landscapes using digital elevation data. *Geomorphology* 21, 233–250.
8. Butler, D.R., Walsh, S.J., 1998. The application of remote sensing and geographic information systems in the study of geomorphology: an introduction. *Geomorphology* 21, 179–181.
9. Clark, C.D., Evans, D.J., Khatwa, A., Bradwell, T., Jordan, C.J., Marsh, S.H., Mitchell, W.A., Bateman, M.D., 2004. Map and GIS database of glacial landforms and features related to the last British Ice Sheet. *Boreas* 33, 359–375.
10. Cooke, R.U., Doornkamp, J.C., 1990. *Geomorphology in Environmental Management: A New Introduction*. second ed. Clarendon, Oxford, pp. 410.
11. Dai, F.C., Lee, C.F., 2002. Landslide characteristics and slope instability modelling using GIS, Lantau Island, Hong Kong. *Geomorphology* 42, 213–228.
12. Gaspar, J.I . Goulart,C., Queiroz, D., Silveira, D., Gomes, A., 2004. Dynamic structure and data sete of a GIS database for geological risk analysis in the Azores volcanic island Natural Hazard and Earth System Sciences 4, 233–242.
13. Jakobsen, P,R,. 2003. GIS based map of glaciotectonic phenomena in Denmark. *Geological Quarterly* 47, 331 –338.
14. Klimaszewski, M., 1990. Thirty years of geomorphological mapping. *Geographia Polonica* 58, 11–18.
15. otto, J,C,. Gustavsson M, Geihausen M, 2011. Cartography: design, Symbolisation and visualization of geomorphological maps. In *Geomorphological Mapping: methods and application*. Smith M. J, Paran , P, Griffiths, J,. (ads). Elsevier: London, 253 – 269.

16. Pike, R.J., Graymer, R.W., Sobieszczyk, S., 2003. A Simple GIS model for mapping landslide susceptibility. In: Evans, I.S., Dikau, R., Tokunaga, E., Ohmori, H., Hirano, M. (Eds.).
17. Plaza, A., Martinez, P., Perez, R., Plaza, J., 2004. A new approach to mixed pixel classification of hyperspectral imagery based on extended morphological profiles. *Pattern Recognition* 37, 1097–1116.
18. Socialist Peoples Libyan Arab Jamahiriya, Secretariat For Agriculture, 1980. Soil Erosion Map, Scale 1:50000, sheet: Darnah 3890–4, Matar Daenah 3890–3, Bir al maasir 3790–2, Karsah 3790–1, the map is compiled by the soil – ecological expedition of USSR V/O Selkhozpromexport 1980.
19. Smith, M. J., Rose, J., Booth, S., 2006. Geomorphological mapping of glacial landforms from remotely sensed data: an evaluation of the principal data sources and an assessment of their quality *Geomorphology* 76, 148 – 165 .
20. Speight, J. G., 1974. A parametric approach to landform regions. *Progress in Geomorphology*. Institute of British Geographers Special Publ. 213 – 229.
21. van Asselen, S., Seijmonsbergen, A.C., 2006. Expert-driven semiautomated geomorphological mapping for a mountainous area using a laser DTM. *Geomorphology* 78, 309–320.
22. Van Den Eeckhaut, M., Poesen, J., Verstraeten, G., Vanacker, V., Moeyersons, J., Nyssen, J., van Beek, L.P.H., 2004. The effectiveness of hillshade maps and expert knowledge in mapping old deep-seated landslides. *Geomorphology* 67, 351 – 363